

飛島建設(株) 正会員 福島 啓一

1. はじめに：埋設管に働く土圧の計算式としては、Janssenのサイロ内の粉粒体圧力の式と同じ考え方にもとづいて、Anson Marston が導いた式が一般に用いられている。又、トンネルに働く土圧についてのTerzaghi の式も同じ考え方で導かれているが、トンネル天端の沈下量は非常に大きいと仮定しているので、Marston の式の特別な場合を考えることが出来る。Marston の式は今も広く用いられているが、式の誘導の途中に現実と合わない仮定があったり、粘着力 C の項を無視している事、管渠の天端の圧力しか求められず、大型の管渠やトンネルに利用する時不便である、などの事があるので、この改善を試みるものである。

2. Marston の式 (Spanglerによる改善を含む) 及 Terzaghi の式；図 1 の微少土塊 A B C D (幅 B, 高さ dh) に働く鉛直力の釣合いを考えると(1)式が成立つ。

$$p + \gamma dh = p + dp \pm \frac{2(K_p\mu + C)}{B} dh \quad (1)$$

こゝに γ : 土の単位体積重量, K : 側圧係数, $\mu = \tan \phi$: 土の摩擦係数, C : 土の粘着力, 符号は管渠の変形が周辺地山の変形より大きい時+, 小さい時-。この式を積分して地表 ($h = 0$) で, $p = q$ (地表面載荷重) の境界条件を与えると次式が求められる。

$$p = \frac{-2C \pm \gamma B}{2K\mu} (1 - e^{\mp \frac{2K\mu}{B} h}) + q e^{\mp \frac{2K\mu}{B} h} \quad (2)$$

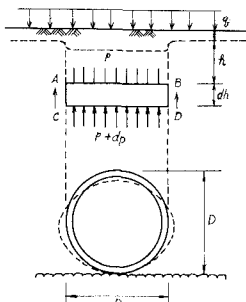


図 1

K. Terzaghi は トンネルの支保が掘削後ある時間が経ってから施工される事や、支保工と地山の間には隙間が残っている事を考えた様で、常にトンネル支保の変形の方が十分に大きいと仮定して上式のうち、符号を十にとったものをトンネル支保の計算式として提案している(但し砂質土中のトンネル)。Anson Marston は 沈下量の差によっては管渠よりある高さ H_e までしか側面の摩擦力は働かないとして、この高さ(等沈下面)に $q = \gamma H_A$ の載荷重が働くと考え、 q による沈下量が直上土柱と隣接土柱で等しくなる点を等沈下面と考え次式を導いた(但し $C = 0$ と仮定)。

$$\frac{\gamma H_A}{E} H_e + y_m + y_g = \int_0^{H_e} \frac{H_A \gamma}{E} e^{\mp \frac{2K\mu}{B} h} dh + y_f + y_c \quad (3)$$

(3)式を解くと(4)式が求められる。

$$e^{\mp \frac{2K\mu}{B} H_e} \pm 2K\mu \frac{H_e}{B} = \mp 2K\mu \delta \frac{D}{B} + 1 \quad (4)$$

こゝに D : 管渠の高さ, y_g : 隣接土柱下の地盤地下水, y_f : 管渠下地盤の沈下, y_m : 隣接土柱の管渠の高さに相当する部分の変形 ($y_m = \gamma HAD/E$), y_c : 管渠の変形, δ : 沈下

比, $(\delta = (y_m + y_g - y_f - y_c)/y_m)$ 。この式は等沈下面までの土の自重によるおくれ変形は考えていないし、隣接土柱の変形でも、せん断力により伝達されて来た力の影響を無視しているなど問題が多い。

3. 計算式の改善：1) トンネルの施工法、支保工の材料によっては沈下量が大きくなることもあるので、トンネルの場合も埋設管と同じく Marston の等沈下面の考え方をとりいれる。逆に Marston の式に粘着力 C の項も入れて埋設管もトンネルも同じ式で計算出来る様にする。2) Marston は(特にその理由は説明していないが)等沈下面より上の荷重による沈下量の差と、そのため生じるせん断力のみを考えているが、盛立て後かなりの期間に亘って沈下・変形が起り、そのためせん断力が生じるので、全荷重を考える様にする。但し、おくれ変形係数を考えるか、弾性係数を低減するかする。3) 管渠又はトンネルの天端だけでなく、任意の高さの点での土圧を計算出来る様にする。4) 水平土圧はアーチ作用により静止土圧よりも増大し、受働土圧に近づく場合もあると考えられるが、一応 Marston や Terzaghi

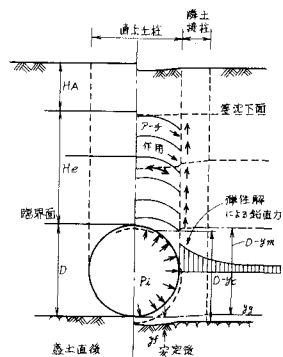


図 2

にならぬ、鉛直圧力×側圧係数を考える。5)隣接土柱の幅は従来無限大と考えていたが、幅B'を考え、その中では鉛直力は等分布とする。幅B'については次の様に考える。臨界高さでの直上土柱内の鉛直圧力をpi、隣接土柱内の同じ高さでの鉛直圧力を $(3.0-K)\tau H - pi \approx 2.5\tau H - pi$ とし、 $B + 2B'$ 幅での鉛直圧力の平均は τH になるものとする。 $\therefore pi \cdot B + (2.5\tau H - pi) \cdot 2B' = \tau H(B + 2B')$ $\therefore 2B'/B = (\tau H - pi)/(1.5\tau H - pi)$ 今 $pi = (\frac{1}{3} \sim \frac{1}{2})\tau H \approx \tau H/4$ とすると $2B'/B = 0.6$ となる。剛性管渠の場合は多少これと違つて来ると思われるが、一応上式が成立つとする。6)撓み易いコルゲートパイプなどでは曲げ抵抗が小さいので、全周に亘つて土圧は曲率半径に比例した強さになる(圧力リング説)ので、円型パイプ(又はトンネル)では全周等分布の土圧となり変形は殆んどゼロになる。但し水平土圧は受動土圧である。

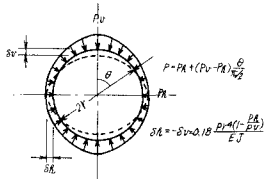


図3

り、最初はゼロで最後に P_u になるので変形量の計算の時は $Ph = Pv/2$ だけが有効とする。又変形は天端部と底盤部の高さ $0.3 r$ の部分でのみ起り、側壁部の高さ $1.4 r$ の部分は変形しないものとする。

7) 土柱の沈下は $y = \frac{Ph}{E}$ 又は $\int \frac{pdh}{E}$ で求める。基礎の沈下は $y = p/k$ で求める(k :地盤反力係数)。8) 管渠の自重は無視する。計算例を示す。この場合沈下量が一致していないので、更に等沈下面の高さの仮定を変えて繰返し計算する必要がある。

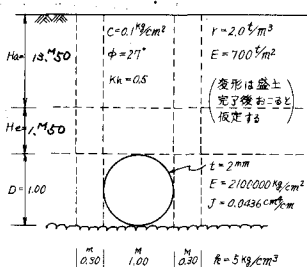


図4

4. おわりに: 少々荒っぽい仮定も入っているが、計測結果をより良く説明出来る様になった。

	直 上 土 柱	せん断面	隣接土柱 $B' = 0.3 m \times 2 = 0.6 m$
地 表 面	$P = 0 t/m^2$		$P = 0 t/m^2$
$H_A = 13.5 m$		$\tau = 0 t/m^2$ $S = 0 t/m$	
等沈下面	$P = \tau H = 2 \times 13.5 = 27 t/m^2$ $N = P/B = 27 t/m$	$\tau = C + K_k \tau H$ $= 7.75 t/m^2$	$P = \tau H = 27 t/m^2$ $N = P \times 0.6 = 16.2 t/m$
$He = 1.5 m$	$y = \int \frac{pdh}{E} = \frac{2 \times 0.5 \times 0.5}{2 \times 0.5 \times 0.5 \times 1.5}$ $(1 - e^{-\frac{2 \times 0.5 \times 0.5 \times 1.5}{E}})$ 700 $= 4.0703 cm$	$S = \tau H - N$ $= 15 \times 2 - 12.7539$ $= 17.2461 t/m$	$y = \frac{27 + 60.7435}{2} \times \frac{150}{700}$ $= 9.4011 cm$
管渠天端	$P = 27 e^{-\frac{1.5}{E}}$ $= 12.7539 t/m^2$ $N = P/B = 12.7539 t/m$	$\tau = 1.0 + 0.5 \times 0.5 \times 12.7539$ $= 4.1885 t/m^2$	$N = 16.2 + 17.2461 + 1.5 \times 2$ $= 36.4461 t/m$ $P = N/B' = 60.7435 t/m^2$
天端アーチ $0.3 r = 15 cm$	$y = 0.18 \frac{P t^4 (1 - ph/pv)}{E J}$ $= 0.18 \frac{1.27539 \times 50^4 \times 0.5}{2.1 \times 10^6 \times 0.0436}$ $= 7.8354 cm$	$S = 2\tau H = 4.1885 \times 0.15 \times 2$ $= 1.2566 t/m$	$y = \frac{60.7435 + 63.3378}{2} \times \frac{15}{700}$ $= 1.3294 cm$
45°上肩	$N = 12.7539 - 1.2566$ $= 11.4973 t/m$ $P = N/B = 11.4973 t/m^2$	$\tau = 1.0 + 0.5 \times 0.5 \times 11.4973$ $= 3.8743 t/m^2$	$N = 36.4461 + 1.2566 + 2 \times 0.15$ $= 38.0027 t/m$ $P = N/B' = 63.3378 t/m^2$
$13 cm$	$y = 0 cm$	$S = 2 \times 3.8743 \times 0.13$ $= 1.0073 t/m$	$y = \frac{63.3378 + 65.4500}{2} \times \frac{13}{700}$ $= 1.1959 cm$
$1.4r = 70 cm$	$N = 11.4973 - 1.0073$ $= 10.4900 t/m$ $P = 10.4900 t/m^2$	$\tau = 1.0 + 0.5 \times 0.5 \times 10.4900$ $= 3.6225 t/m^2$	$N = 38.0027 + 1.0073 + 0.13 \times 2$ $= 39.2700 t/m$ $P = N/B' = 65.4500 t/m^2$
$57 cm$	$y = 0 cm$	$S = \frac{3.6225 + 13.7189}{2} \times 0.57$ $= 9.8846 t/m$	$y = \frac{65.4500 + 50.8757}{2} \times \frac{57}{700}$ $= 4.7361 cm$
45°下脚部	$N = 10.4900 + 9.8846$ $= 20.3746 t/m$ $P = N/B = 20.3746 t/m^2$	$\tau = 1.0 + 0.5 \times 0.5 \times 20.3746$ $= 6.0937 t/m^2$	$N = 39.2700 + 2 \times 0.57 - 9.8846$ $= 30.5254 t/m$ $P = N/B' = 50.8757 t/m^2$
インバートアーチ $0.3 r = 15 cm$	$y = 0.18 \frac{2.03746 \times 50^4 \times 0.5}{2.1 \times 10^6 \times 0.0436}$ $= 12.5172 cm$	$S = 6.0937 \times 2 \times 0.15$ $= 1.8281 t/m$	$y = \frac{50.8757 + 54.4558}{2} \times \frac{15}{700}$ $= 1.1286 cm$
	$N = 20.3746 - 1.8281$ $= 18.5465 t/m$ $P = N/B = 18.5465 t/m^2$		$N = 30.5254 + 0.15 \times 2 + 1.8231$ $= 32.6535 t/m$ $P = N/B' = 54.4225 t/m^2$
基礎	$y = p/k = \frac{18.5465}{5} = 3.7093 cm$		$y = p/k = \frac{54.4225}{5} = 10.8845 cm$
トータル変位量	$\Sigma y = 28.1322 cm$		$\Sigma y = 28.6756 cm$